

苏联中等专业学校教学用书

电法勘探教程

Ю. В. 雅庫博夫斯基
М. М. 利亞霍夫著

地质出版社

电法勘探教程

Ю. В. 雅庫博夫斯基 著
Л. Л. 利亞霍夫

苏联地質保礦部教育局審定作为地質勘探学校教本

地质出版社

1958·北京

Ю. В. ЯКУБОВСКИЙ и Л. Л. ЛЯХОВ

ЭЛЕКТРОРАЗВЕДКА

ГОСГЕОЛТЕХИЗДАТ

МОСКОВА

1956

电法勘探是研究地壳上部地质构造的一种基本地球物理方法。这是一门比较年轻的科学，电法勘探的直接任务是测定待测地区的地电断面。再根据地电断面作出地质断面。近年来电法勘探在工程地质和水文地质勘测等领域中也获得了广泛的应用。

本書簡明地介绍了电法勘探的发展历史，各种方法的物理数学基础、仪器、装备、野外工作方法、结果推断以及典型的电法勘探结果等。本書未涉及高等数学，除了作为地质勘探学校地球物理探矿学生的教本外，还可以供在地球物理探矿、工程地质、水文地质勘测等领域中工作的一般同志参考。本書由陈培光同志翻译。

电 法 勘 探 教 程

著 者 Ю. В. 雅 庫 博 夫 斯 基
Л. Л. 利 亞 霍 夫

譯 者 陈 培 光

出 版 者 地 质 出 版 社

北京宣武门外永光寺西街3号

北京市書刊出版業業許可證出字第050号

發 行 者 新 華 書 店

印 刷 者 天 津 市 第 一 印 刷 厂

印数(京)1—1,600册 1958年7月北京第1版

开本31"×43" 1/25 1958年7月第1次印刷

字数300,000 印张 14 18/25 插页 2

定价(10)1.90元

目 錄

序

第一章 恒定电流电法勘探理論的一些知識	11
§ 1. 岩石的电阻率.....	11
§ 2. 正常电場.....	18
§ 3. 接地电阻.....	31
第二章 电阻法.....	39
§ 1. 視电阻率.....	39
§ 2. 电阻法工作的裝置.....	42
§ 3. 互換原理.....	46
§ 4. 电阻法的仪器和裝备.....	48
§ 5. 漏洩及其防止.....	76
第三章 垂向电測深法	81
§ 1. 方法的實質.....	81
§ 2. 垂向电測深的理論曲綫。量板的理論基礎.....	85
§ 3. 野外工作方法.....	118
§ 4. 偶極測深.....	137
§ 5. 垂向測深結果的解釋.....	141
§ 6. 岩石电阻率的測定.....	161
§ 7. 应用垂向电測深的条件和領域.....	172
第四章 电剖面法.....	176
§ 1. 方法的實質	176
§ 2. 对称裝置 $AMNB$ 的剖面	178
§ 3. 双電極距 $AA' MNB'B$ 对称裝置的剖面	187
§ 4. 固定供电电極的剖面 (中間梯度測量)	194
§ 5. 重复的剖面 (裝置 $AMONB$ 的剖面)	198
§ 6. 联合剖面	199
§ 7. 偶極剖面	206
§ 8. 环形剖面 (φ_k 極化圖的作法)	211
第五章 等位綫法.....	213
§ 1. 等位綫法的一般知識	213
§ 2. 恒定 (脉动) 电流工作的裝备	217
§ 3. 野外工作方法及覈測結果的圖示	218
§ 4. 应用等位綫法的条件和領域	224
第六章 充电法.....	226
§ 1. 方法的實質	226
§ 2. 充电体上等位綫的追踪	228
§ 3. 充电体上电位梯度的測量	232
§ 4. 充电法的应用	239

§ 5. 充电法测定地下水运动的方向和速度.....	240
第七章 自然电场法	246
§ 1. 方法的实质.....	246
§ 2. 最简单几何形状极化矿体的电场.....	251
§ 3. 自然电场测量的仪器.....	253
§ 4. 野外工作方法.....	262
§ 5. 观测结果的整理法及图示法.....	272
§ 6. 解释的基础.....	275
§ 7. 方法的应用领域.....	279
第八章 交变电流电法勘探理论的一些知识	284
§ 1. 谱交变电磁场的概念.....	284
§ 2. 电法勘探中所应用的激发和研究交变电磁场的方法.....	284
§ 3. 导电介质存在时低频电磁场的結構.....	290
§ 4. 一些最简单供电装置的磁场.....	292
第九章 交变电流等位线法和充电法	296
§ 1. 用等位线法和充电法工作时交变电流的利用.....	296
§ 2. 交变电流工作的仪器和装备.....	297
§ 3. 等位线法的追踪法.....	300
第十章 强度法	302
§ 1. 方法的实质.....	302
§ 2. 仪器和装备.....	309
§ 3. 野外工作方法.....	311
§ 4. 观测结果的整理和图示.....	315
§ 5. 解释的基础.....	316
§ 6. 应用这一方法的条件和领域.....	319
第十一章 感应法	320
§ 1. 方法的实质.....	320
§ 2. 仪器.....	325
§ 3. 野外工作方法.....	327
§ 4. 野外观测结果的推断.....	335
§ 5. 应用感应法的条件和领域.....	337
第十二章 电法勘探的其他方法	339
§ 1. 回线法.....	339
§ 2. 大地电流法.....	345
§ 3. 游散电流法.....	349
§ 4. 相位法.....	351
§ 5. 电波法勘探.....	355
§ 6. 激发电位法.....	359
第十三章 电法勘探工作的组织	362
参考文献	368

序

电法勘探是研究地壳上部地質構造的基本地球物理方法之一。

岩石根据其性質、構造和產狀之不同而具有不同的电性，它們以电参数——电阻率 ρ 和介电常数 ϵ 来表示。这些量在空間的分布，亦即在不同电性的区域的分布决定于几何参数：岩層的厚度、其埋藏深度、傾角、金屬礦体的大小等。这些电参数和几何参数就决定了“地电断面”，借地电断面可在电学上表征出区域的地質構造。

地电断面的分界面不尽与根据岩性、構造和其他純地質标志确定出的地質界綫一致。有时地質上均匀的 岩層被分成数个地电層，而有时数个地質構造合併入一个地电層。

电法勘探的直接任务是测定所探测地区的地电断面。

有了地电断面可以轉向解决基本任务——作地質断面。为此，就必须知道岩石的电性及其与岩性、產狀、年代等地質因素之間的关系。

为了在地表獲得地电断面要在坑道和鑽井中観測天然或人工建立的电磁場。描述这些場的量——場強和位——决定于地电断面的構造。在能到达的点上研究場后可以作出关于地电断面構造的概念。

这里引入一个关于电法勘探正演問題和反演問題的概念。

电法勘探的正演問題在于根据給定的場源和地电断面参数测定电磁場。分析正演問題的解可以預見在不同地質条件下観測場的結果，并在这一基礎上选择合理的探测場的方法，整理和繪出結果的方法等。

电法勘探的反演問題在于根据観測到的电磁場测定地电断面。由于反演問題解的非單值性，从観測到的場得出地电断面就比較复雜了。在以实际能达到的精确度的観測結果中得出的电磁場分布可能相当于参数数值不同的地电断面。解釋者应由这些断面中选择一个相当于所

探测地区真正地質構造的断面。

在解反演問題时必須利用关于組成所探测地区的岩石的电性的初步知識、关于其地質構造的数据、其他地球物理方法探测的結果等。

电法勘探可以解决很多各种各样的問題，为此应用許多不同的方法及其变种，它們相互的区别是在建立場的方法和其観測的方法。

电法勘探方法的多样性决定于：

1. 地中电磁場可用兩种方法建立：一是“电流”法，是借接地—电極將电流引入地中，一是感应法，地中电流是借交变电流的磁場來激發。对于兩种方法都有大量的供电裝置，其相互区别是在用來建立場的裝置的类型（电極，感应綫框等）。

2. 研究場的方法也是多样的。例如，可以探测場的电分量或磁分量，測量場的矢量总值或其沿坐标軸的分量。在某些情况下可以限于測量場矢量的幅度值，以及在另一些情况下也应測量这些矢量的相位等。

3. 根据地区条件和待解决問題的类型可將所探测場的頻率由零（恒定場）改变到数百万赫芝等。

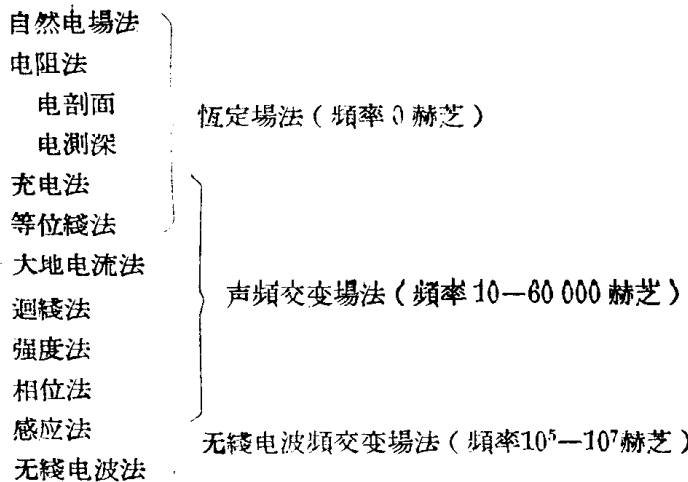
后一因素在很大程度上决定着一种方法的特征：激發的方法和場的測量方法，可以在其中利用这一方法的地質条件，以及利用这一方法所解决的一系列問題。因此就應該根据該标志進行电法勘探方法的分类。

下面列举一些基本电法勘探方法并指出在这些方法中所利用的电磁場的頻率（按A. И. 查博罗夫斯基）。

應該指出，充电法和等位綫法被利用于兩种变种——交变电流法由于和恒定电流法。

在表中不包括目前未广泛应用和处于研究阶段的一些电法勘探方法（无线电波比較法，电位差比法，激发电位法等）。

由于野外探测法种类很多，使得电法勘探以万能著称，亦即在各种地質工作阶段都可以将它应用來解决各种地質問題。



目前恒定場法电法勘探被应用來解决区域構造的問題：研究埋藏的褶皺構造、地台的構造分区等，以及普查和勘探有利于積聚石油和天然气的深处構造。电法勘探工作有很大工作量，特別是电剖面和电測深是用來解决各种比例尺的地質填圖問題。

应用电法勘探的重要領域是普查和勘探金屬礦床。这里应用恒定电流法和交变电流法（电阻法，自然电場法，强度法，感应法等）。

在普查煤礦，以及非金屬礦產（建筑材料，化学工業原料等）时，恒定电流电法勘探被用來解决地質構造問題，以及普查和勘探。

近年来电法勘探在工程地質和水文地質勘測时也獲得了广泛的应用。

电法勘探探測是解决地質問題的一种方法，应与其他地球物理和地質探測緊密联系地來進行。

地質勘探工作（地質測量）照例用那些需根据这些測量編制的地質圖和地質断面的比例尺來决定。根据这一点确定出对上述地質圖和地質断面精确度或标准的一定要求，它們决定为保証報告文件給定比例尺所需地質数据的数量和質量。

适应地質測量的比例尺电法勘探工作以下列比例尺進行：

区域工作——1:1 000 000和1:500 000；

普查測量工作——1:200 000 和 1:100 000;

詳細普查測量工作和勘探工作——1:50 000 和 1:25 000;

普查勘探工作——1:10 000, 1:5 000, 1:2 000 和更大。

应当指出，上述电法勘探工作按比例尺的划分是以大家都知道的意义假定的，因为在不同的普查和勘探目的物上，根据其尺寸和性质，实质上属于同一地质探测阶段的电法勘探工作将以不同的比例尺来完成。例如，普查和勘探含油构造的工作以大于普查和勘探有色金属矿脉的比例尺来进行，因为前者的尺寸为数公里，而后的尺寸在良好的情况下为数百米，否则只数十米。

进行比例尺为 1:1 000 000 和 1:500 000 的电法勘探工作的目的是作地台沉积基岩和构造的区域研究，与普查含油和含气构造有关的区域构造的探测或煤田的研究。在详细研究含油构造和个别煤田地段，以及沉积类型的金属矿床时应用比例尺 1:200 000 和 1:25 000。

大多数金属和非金属矿床的普查和勘探，以及工程建筑物下的详细探测以更大的比例尺来进行。应当着重指出，电法勘探工作的比例尺也决定于地质测量的比例尺（它们伴随该电法勘探工作）或进行工作所依据的地质图的比例尺。以这一比例尺作出报告图表资料。电法勘探网应保证在所进行的测量结果中应得出的地质图的标准。

电法勘探，和所有的勘探地球物理一样，是一门比较年轻的科学。应用电来普查矿产的第一批工作是在上一世纪中叶。1829年佛拜在康瓦尔（英国）黄铁矿区上观测过与氧化还原过程有关的自然电场。

十九世纪末和二十世纪初物理学的总的进展也触及地球地质构造的研究法，它推动了整个应用地球物理，特别是电法勘探方法的发展。

1903年俄国工程师 E. N. 拉戈律发表一篇论文“论用电勘探金属矿脉”。在这一篇文章中介绍了关于在应用电法普查金属矿体和探测岩石电性的领域中达到的成就的资料。

在1910年法国科学家 K. 什卢别姆尔热制定了电阻法，后来在地质构造探测时获得了广泛的应用。

在1919—1922年瑞典科学家隆德別尔格和宗德別尔格奠定了交变电流电法勘探的起点，特別是以觀測電場等位綫和磁場強度为基础的方法。稍后在美國提出了感应法（“无线电探测”）。

在恆定电流电法勘探理論中起过重要作用的有德國科学家古麥尔，特別是羅馬尼亞科学家捷法涅斯庫的研究，他們拟定了有平行平面分界面存在时計算点电源電場的方法。

在1924年苏联电法勘探奠基者 A. A. 彼得罗夫斯基第一次在苏联進行了自然電場法电法勘探工作（阿尔泰里迭尔多金屬礦区）及等位綫法电法勘探工作（阿尔泰別洛烏索夫礦山）。在1925年布置了交变电流等位綫法，并在后几年在苏联硫化礦床上广泛地試驗了这一变种。在烏拉尔（博戈莫洛夫斯基礦山）所進行的应用强度法的工作也屬於1925年。从1926年起感应法也進入电法勘探实践中。

从1928年起，A. A. 彼得罗夫斯基在无线电波法勘探領域中進行了系統的研究。

于是，这一世紀二十年代电法勘探主要被应用來普查和勘探金屬礦床。但是所作过的工作在很大程度上具有实验的性質，所進行工作的量也不大。

苏联由恢复过渡到工業化和完全建立起國民經濟时，为了供給工业必需的原料和燃料，使地質勘探工作有了蓬勃的發展。地球物理工作，特別是电法勘探工作量也增大。电法勘探被布置在北烏拉尔和南烏拉尔，西西伯利亞（薩拉尹尔地塊，薩彥嶺），哈薩克斯坦，东西伯利亞，远东。电法勘探探测的对象，除了銅礦和有色金屬而外，有含油層，建筑材料，煤，金，稀有金属和其他礦產。

在1928—1929年根据 Д. В. 戈盧比亞特尼科夫的提議，电法勘探被应用到普查和勘探石油和天然气構造的实践中。法國科学家 K. 什姆別尔热及其同事在这方面的工作起了很好的作用，他們在格罗茲内依油区工作得很成功。

在1932年第一次進行了普查和勘探煤礦的电法勘探工作。在这一

地質探測領域中電法勘探被用作研究煤田地質構造和普查煤層，以及含煤層的方法。

在1930年A. C. 謝苗諾夫進行了解決水文地質和工程地質問題的第一批電法勘探工作。在戰后的年代里由於擴大了水工建築和農業供水的勘探在這一領域中達到了特殊的成就。

應用電法勘探領域的擴大要求進一步擬定電法勘探的理論，野外工作方法，觀測結果的推斷。這些問題成功地被許多在地球物理科學研究機關和生產機構中工作的科學家和電法勘探工程師所解決。在恆定電流電法勘探理論領域中應指出 A. И. 查博羅夫斯基, Л. М. 阿爾平, В. Н. 达赫諾夫, А. Н. 吉洪諾夫, А. П. 克拉耶夫, Е. Н. 卡林諾夫, А. М. 培拉耶夫等的工作。在其他電法勘探方法理論領域中應當指出, Е. А. 謝爾格耶夫(自然電流法), А. С. 謝苗諾夫(充電法), А. Г. 塔爾霍夫, А. М. 培拉耶夫, И. Г. 米哈依洛夫(感應法), В. Н. 达赫諾夫(迴線法等)。

蘇聯的工業掌握了電法勘探儀器的生產。

石油工業地球物理服務工作者集體設計了一種用來探測深處構造的電法勘探站。在蘇聯地質保礦部系統中創造了成套的感應法和強度法工作用的新儀器，這些儀器是考慮到無線電測量技術最新成就而作出的。

正如大家知道，在第六個五年計劃中規定了進一步發展地質勘探工作，以普查和勘探所有各種礦物原料礦床和增大勘探的儲量。在地質勘探工作中廣泛地應用地球物理法將促進它們加速並提高普查和勘探礦產的效率。

第一章 恒定电流电法勘探理論的一些知識

§ 1. 岩石的电阻率

岩石的电性决定于两个参数：电阻率 ρ 及介电常数 ϵ 。只有在频率足够高时介电常数才影响电场的性状，对于大多数现在所利用的以应用恒定低频率电场为基础的电法勘探法，上述两个参数中只有一个是很重要的——电阻率。因此以后只注意这一参数及决定它的一些因素。

某一物质的电阻率在数值上就是 1 厘米^3 的立方体形物质对于垂直于这一立方体一个面的电流的电阻。

电阻率的量纲 $|\rho|$ 及其度量的单位决定于导体的电阻 R ，其长度 l ，横截面 s 及制造导体的材料的电阻率之间的已知关系式

$$R = \rho \frac{l}{s},$$

由此

$$\rho = \frac{Rs}{l};$$

于是

$$|\rho| = \frac{|R| |L^2|}{|L|} = |R| |L|.$$

根据对 R ， L 和 s 所选择的单位电阻率可以欧姆·厘米或欧姆·米来度量。

在电法勘探中利用较大的单位欧姆·米（1欧姆·米=100欧姆·厘米）①。

①在工程中可以碰到另外一些度量电阻率的单位，例如 欧姆 $\frac{\text{毫米}^2}{\text{米}}$ 。

一

电阻率的倒数

$$\gamma = \frac{1}{\rho}$$

称为电導率。

作为电流導体的岩石可以看成是由固体礦物骨架、液体及气体組成的混合物。下面的一些因素对这种混合物起影响：

1. 組成岩石固体部分（其骨架）的礦物的电阻率。
2. 充滿岩石孔隙的液体和气体的电阻率。
3. 岩石的温度。
4. 岩石的孔隙度。
5. 岩石的結構，其孔隙的形狀及相互的位置。

我們來討論这些因素中每一个的影响。

在表 1 中介紹的是主要造岩礦物电阻率的数值。由这一表可以得出結論，主要造岩礦物的电阻率，特別是矽酸鹽类所有礦物的电阻率都很大，由 10^6 到 10^{15} 欧姆·米。某些电子导电的金屬礦物是例外的，其电阻率很小： 10^{-1} — 10^{-5} 欧姆·米。

飽和岩石的液体的电阻率变化范围很寬。在大多数情况下这液体是各种礦物鹽的水溶液，在其中起重要作用的是氯化鈉 NaCl ，充滿岩石孔隙的水的电阻率与被溶解的鹽的濃度成反比关系。在圖 1 上繪的是水中 NaCl 溶液的电阻率与其濃度的关系曲綫。曲綫是繪在双对数格紙上的，亦即沿坐标軸放

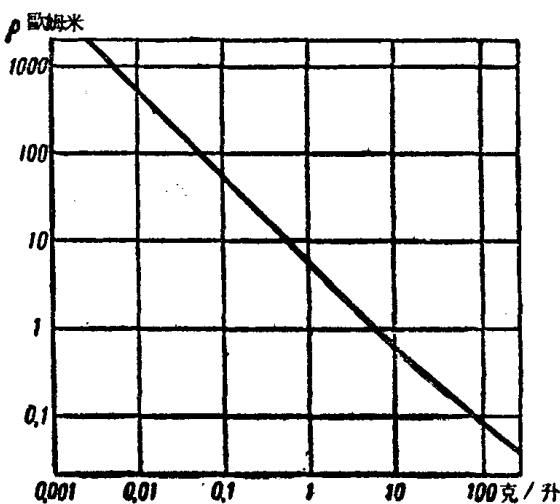


圖 1. NaCl 溶液的电阻率与其濃度的关系

溶液电阻率的十進对数和其濃度（以每升多少克計）。

在自然条件下深水、強烈礦化水以及海水具有最小的电阻率（数量級为 1 欧姆·米和更小）。地下水的电阻率依据其礦化程度由 10^{-2} 到 10^2 欧姆·米。弱礦化的河水具有較大的电阻率（数量級为数十和数百欧姆·米），由于雨水礦化程度低，它們有更大的电阻率（达 1500 欧姆·米）。

水的温度对岩石孔隙中水的电阻率有影响。温度增高时溶液的电阻率降低，于是，岩石的电阻率降低。岩石电阻率与温度的关系比純溶液与温度的关系复雜，直到現在还不能被認為是精确地确定的。冰冻的液体实际上不傳导电流。

除水溶液外，岩石的孔隙可能充滿石油。石油的电阻率非常大，它达到 10^{16} 欧姆·米，实际上石油是絕緣体。

由以上所述可見，岩石的礦物骨架一般傳导电流比起充滿其孔隙的溶液來要差得远①。因此岩石傳導电流实际上只是由于充滿其孔隙的电解液；这样，岩石的导电性主要是电解的（离子的）。由此得出結論，岩石的湿度应強烈地影响其电阻率。

岩石的湿度愈大，则其电阻率愈小。因为这时岩石的湿度与其孔隙度紧密相关，所以岩石的电阻率决定于其孔隙度。

應該指出，孔隙度本身还不决定电阻率的大小。孔隙非常多的岩石可能具有很小的湿度，而具有很大的电阻率。干砂就是一个例子，其电阻率达到数千欧姆·米。充滿石油的岩石也具有很高的电阻率。

从另一方面看，孔隙度决定位于潛水面下岩石的湿度，在岩石完全被溶液充滿时，就达到了电阻率進一步减小的界限。

在自然条件下，孔隙度最大的岩石一般具有的电阻率最低。

說明上述决定岩石电阻率的因素的最后一个——岩石的結構时，我們可注意圖 2， a 和 b 。在圖 2， a 上以概略的形式繪出岩石，其中

①某些岩石和礦物例外，关于它們將在下面敘述（參閱 18 頁）。

礦物骨架及孔隙在空間中無規則地排列着。這種岩石的電阻率在任何方向上都是一樣的（各向同性岩）。

在圖26上繪的是礦物骨架和孔隙沿某一方向伸展的岩石。這導致電流流過岩石的情況對於不同的方向成為不一致的了。這種岩石的電阻決定於方向，即岩石在電性方面是各向異性的。在圖上以虛箭頭表示的方向上岩石的電阻率大於方向與礦物顆粒和其間孔隙方向一致的電阻率。如果在標出的第一個方向上用 ρ_n 表示電阻率，而在第二個方向上用 ρ_t ，那末按照以上所述可以寫成

$$\rho_n > \rho_t.$$

ρ_n 和 ρ_t 的比值的平方根稱為微觀各向異性係數，並用 λ_μ 表示

$$\lambda_\mu = \sqrt{\frac{\rho_n}{\rho_t}}. \quad (1,1)$$

對於岩石這一係數的數值由1（各向同性岩石）到2，只有在偶爾的情況下才超過這一數值。

因為對於三種基本成因的岩石組——沉積岩、火成岩和變質岩——孔隙度、濕度和結構是不同的，這些岩石的電阻率也相應地不同。

沉積岩的特點是一般比其他類型岩石的電阻率低。這是由於其孔隙度大，而在低於潛水面的埋藏條件下，相應地，由於濕度高。

但是在上述一組岩石中還可以分出某些電阻率高的某些岩石。例如，屬於這些岩石的有：上面已提到的干砂，致密的孔隙度小的水化沉積物——石膏、硬石膏等。

沉積岩的特徵是粘土的電阻率通常小於砂的電阻率。從一方面看，這是由於粘土的孔隙度大於砂的孔隙度；從另一方面看，在粘土

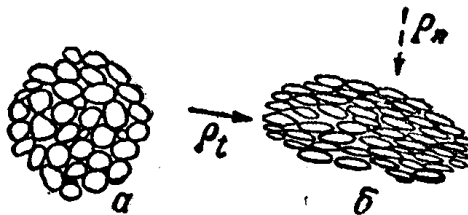


圖 2. 岩石礦物骨架的結構
a—各向同性的；b—各向異性的

中由于滲透性不好潛水被停滯，由於岩石礦物骨架中礦物鹽的淋蝕，其礦化度增大。照例，在滲透性好的砂岩中的水的礦化度較低，特別在它們含有大气淡水沉積物時。

凍結的岩石的電阻率顯著地大於處於融化狀態的同一些岩石的電阻率。例如，“永凍結”的疏松岩石的電阻率為數千到數十千歐姆·米。與冰比較凍結的岩石的電阻率小，主要是由於在自然界中常遇到的溫度下處於岩石孔隙中的溶液部分（結合水）未凍結。

含油岩石的電阻率隨著石油含量增大而增高。隨著含油度增大含油岩石電阻率的增高可由係數 Q 來描述，它等於具有該一含油度的岩石電阻率與岩石孔隙完全充滿水時同一岩石電阻率的比值。

在表 2 上介紹的是主要類型沉積岩電阻率變化的範圍。

一些沉積岩的電阻率

表 2

岩石的名稱	電阻率 (歐姆·米)	岩石的名稱	電阻率 (歐姆·米)
粘土	$10^{-1} \sim 10$	粉砂岩	$10 \sim 10^2$
亞粘土	$10 \sim 10^2$	石灰岩	$10 \sim 10^3$
含鹽水的砂	$10^{-1} \sim 10^2$	泥灰岩	$10^0 \sim 10^2$
含淡水的砂	$10 \sim 10^3$	硬石膏	$10^4 \sim 10^6$
砂岩	$10 \sim 10^3$	食鹽	$10^4 \sim 10^6$
泥岩	$10 \sim 10^2$	礫岩	$10 \sim 10^4$

火成岩的特點是電阻率數值最高。這完全符合於下一情況：與其他岩石相比較這一組岩石具有很小的孔隙度。

正如在表 3 上可見到，致密岩石的電阻率為數千歐姆·米。

裂隙火成岩石的電阻率在裂隙成為地下水循環路程時低於塊狀埋藏時同一岩石的電阻率。

含有良導性金屬礦物的火成岩的電阻由於前者也可能大大地降